

Linéarisation de Processus de Markov Déterministe par morceaux autour d'un équilibre

Edouard STRICKLER (Université de Neuchâtel)

–

avec Michel Benaïm

Aussois - Journées Probabilités

22 juin 2017

Qu'est-ce qu'un PDMP ?

Un processus qui suit des trajectoires déterministes entre des sauts aléatoires.
Exemples : Processus de Poisson, TCP process, zigzag process...

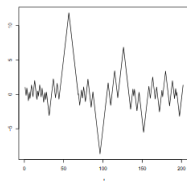
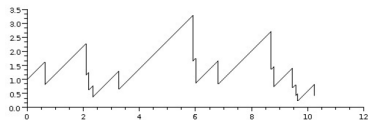


Figure: exemple de trajectoires du TCP et du Zigzag

Qu'est-ce qu'un PDMP ?

Un processus qui suit des trajectoires déterministes entre des sauts aléatoires.
Exemples : Processus de Poisson, TCP process, zigzag process...

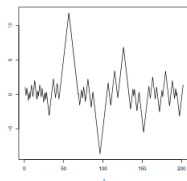
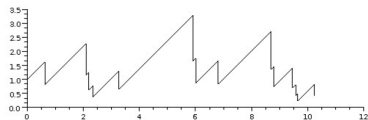


Figure: exemple de trajectoires du TCP et du Zigzag

Ce sont des processus de type Lévy...

PDMP : modèle à changements Markoviens

Processus $(Z_t)_{t \geq 0} = (X_t, I_t)_{t \geq 0}$ sur $\mathbb{R}^d \times E$, avec E fini

PDMP : modèle à changements Markoviens

Processus $(Z_t)_{t \geq 0} = (X_t, I_t)_{t \geq 0}$ sur $\mathbb{R}^d \times E$, avec E fini
3 ingrédients :

PDMP : modèle à changements Markoviens

Processus $(Z_t)_{t \geq 0} = (X_t, I_t)_{t \geq 0}$ sur $\mathbb{R}^d \times E$, avec E fini
3 ingrédients :

- $\forall i \in E, F^i : \mathbb{R}^d \rightarrow \mathbb{R}^d$ régulier

PDMP : modèle à changements Markoviens

Processus $(Z_t)_{t \geq 0} = (X_t, I_t)_{t \geq 0}$ sur $\mathbb{R}^d \times E$, avec E fini
3 ingrédients :

- $\forall i \in E, F^i : \mathbb{R}^d \rightarrow \mathbb{R}^d$ régulier
- $\forall i \in E, \lambda(\cdot, i) : \mathbb{R}^d \rightarrow \mathbb{R}_+$ taux de sauts continu

PDMP : modèle à changements Markoviens

Processus $(Z_t)_{t \geq 0} = (X_t, I_t)_{t \geq 0}$ sur $\mathbb{R}^d \times E$, avec E fini
3 ingrédients :

- $\forall i \in E, F^i : \mathbb{R}^d \rightarrow \mathbb{R}^d$ régulier
- $\forall i \in E, \lambda(\cdot, i) : \mathbb{R}^d \rightarrow \mathbb{R}_+$ taux de sauts continu
- $\forall i, j \in E, Q(\cdot, i, j) : \mathbb{R}^d \rightarrow [0, 1]$ continue,
 $\forall x \in \mathbb{R}^d, (Q(x, i, j))_{(i, j) \in E^2}$ matrice stochastique irréductible

Le flot

$$\begin{cases} \frac{d}{dt}x_t = F^i(x_t) \\ x_0 = x \end{cases}$$

admet une unique solution : $(\Phi_t^i(x))_{t \geq 0}$

Le flot

$$\begin{cases} \frac{d}{dt}x_t = F^i(x_t) \\ x_0 = x \end{cases}$$

admet une unique solution : $(\Phi_t^i(x))_{t \geq 0}$

Le premier temps de saut

$$\mathbb{P}_{x,i}(T_1 > t) = \exp\left(-\int_0^t \lambda(\Phi_s^i(x), i) ds\right)$$

- $(X_0, I_0) = (x, i) \in \mathbb{R}^d \times E$

Le processus

- $(X_0, I_0) = (x, i) \in \mathbb{R}^d \times E$
- $\forall t < T_1, X_t = \Phi_t^i(x)$ et $I_t = i$

Le processus

- $(X_0, I_0) = (x, i) \in \mathbb{R}^d \times E$
- $\forall t < T_1, X_t = \Phi_t^i(x)$ et $I_t = i$
- en $T_1 : I_{T_1} = j$ avec probabilité $Q(X_{T_1^-}, i, j)$ et $X_{T_1} = X_{T_1^-}$

Le processus

- $(X_0, I_0) = (x, i) \in \mathbb{R}^d \times E$
- $\forall t < T_1, X_t = \Phi_t^i(x)$ et $I_t = i$
- en $T_1 : I_{T_1} = j$ avec probabilité $Q(X_{T_1^-}, i, j)$ et $X_{T_1} = X_{T_1^-}$
- T_2 défini similairement à T_1

Le processus

- $(X_0, I_0) = (x, i) \in \mathbb{R}^d \times E$
- $\forall t < T_1, X_t = \Phi_t^i(x)$ et $I_t = i$
- en $T_1 : I_{T_1} = j$ avec probabilité $Q(X_{T_1^-}, i, j)$ et $X_{T_1} = X_{T_1^-}$
- T_2 défini similairement à T_1
- $\forall t < T_2, X_t = \Phi_{t-T_1}^{I_{T_1}}(X_{T_1})$ et $I_t = I_{T_1}$

- $(X_0, I_0) = (x, i) \in \mathbb{R}^d \times E$
- $\forall t < T_1, X_t = \Phi_t^i(x)$ et $I_t = i$
- en $T_1 : I_{T_1} = j$ avec probabilité $Q(X_{T_1^-}, i, j)$ et $X_{T_1} = X_{T_1^-}$
- T_2 défini similairement à T_1
- $\forall t < T_2, X_t = \Phi_{t-T_1}^{I_{T_1}}(X_{T_1})$ et $I_t = I_{T_1}$

En résumé, $\dot{X}_t = F^{I_t}(X_t)$ avec $\mathbb{P}(I_{t+s} = j | (X_u, I_u)_{u \leq t}) = \lambda_j(X_t) Q(X_t, i, j) s + o(s)$ pour $i \neq j$ sur $\{I_t = i\}$.

- $(X_0, I_0) = (x, i) \in \mathbb{R}^d \times E$
- $\forall t < T_1, X_t = \Phi_t^i(x)$ et $I_t = i$
- en $T_1 : I_{T_1} = j$ avec probabilité $Q(X_{T_1^-}, i, j)$ et $X_{T_1} = X_{T_1^-}$
- T_2 défini similairement à T_1
- $\forall t < T_2, X_t = \Phi_{t-T_1}^{I_{T_1}}(X_{T_1})$ et $I_t = I_{T_1}$

En résumé, $\dot{X}_t = F^I_t(X_t)$ avec $\mathbb{P}(I_{t+s} = j | (X_u, I_u)_{u \leq t}) = \lambda_j(X_t)Q(X_t, i, j)s + o(s)$ pour $i \neq j$ sur $\{I_t = i\}$.

Remarque : si $\lambda_i(x) = \lambda_i$ et $Q(x, i, j) = Q_{ij}$, $(I_t)_{t \geq 0}$ est une chaîne de Markov avec matrice d'intensité $(\lambda_i Q_{ij})_{i,j}$. Par contre X n'est pas markovien.

Semi-groupe et Générateur

Semi-groupe

Le processus $(Z_t)_{t \geq 0}$ est un processus de Markov.

Le semi-groupe $(P_t)_{t \geq 0}$ associé est Feller

$$P_t f(x, i) = \mathbb{E} [f(Z_t) | Z_0 = (x, i)]$$

Générateur infinitésimal

Pour toute fonction $f : \mathbb{R}^d \times E \rightarrow \mathbb{R}$ régulière

$$Lf(x, i) = \langle F^i(x), \nabla f(x, i) \rangle + \lambda(x, i) \sum_{j \in E} Q(x, i, j) (f(x, j) - f(x, i))$$

où

$$Lf = \lim_{t \rightarrow 0} \frac{P_t f - f}{t}.$$

Hypothèse

$\forall i \in E, F^i(0) = 0$ et il existe un compact M tel que $X_0 \in M \Rightarrow Z_t \in M \times E$

Hypothèse

$\forall i \in E, F^i(0) = 0$ et il existe un compact M tel que $X_0 \in M \Rightarrow Z_t \in M \times E$

Question : En switchant aléatoirement entre ces champs de vecteurs, quel est le comportement au voisinage de 0, et comment peut-on le prédire ?

Quelques exemples épidémiologiques

F^1 et F^2 deux champs de vecteurs Susceptible - Infecté - Susceptible (SIS) sur \mathbb{R}^2 :

$$F^i(x, y) = \begin{cases} (1-x)(a_i x + b_i y) - \alpha_i x \\ (1-y)(c_i x + d_i y) - \beta_i y \end{cases}$$

avec $a_i, b_i, c_i, d_i, \alpha_i, \beta_i > 0$.

On remarque que pour $i \in \{1, 2\}$, $F^i(0) = 0$.

Comportement déterministe

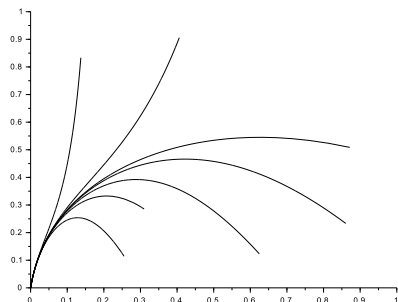
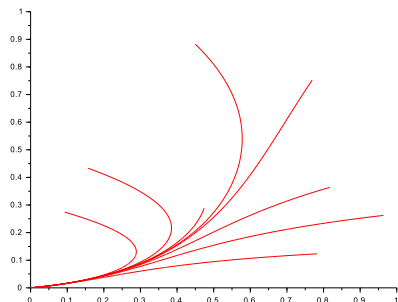
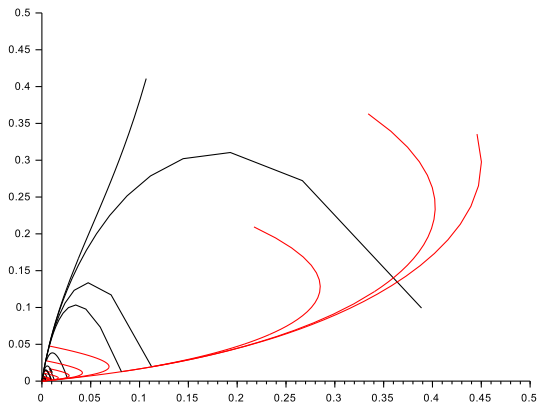


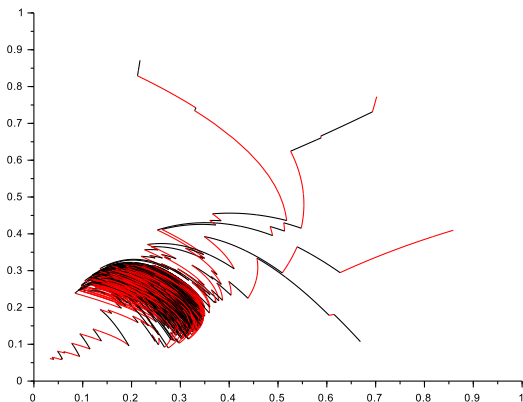
Figure: exemple de trajectoires de F^1 et F^2 pour lesquels 0 est globalement stable

Dans chaque environnement, la maladie va disparaître.

Avec peu de sauts



Avec beaucoup de sauts



La variation entre les environnements peut conduire à la persistance de la maladie dans la population.

Exemple opposé

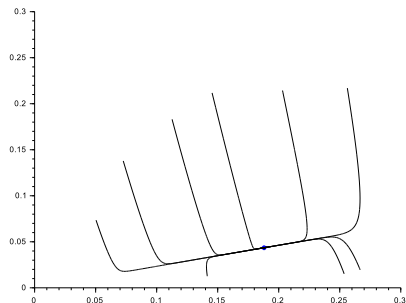
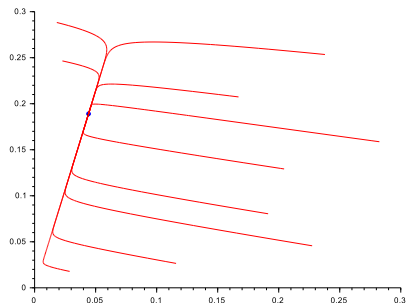
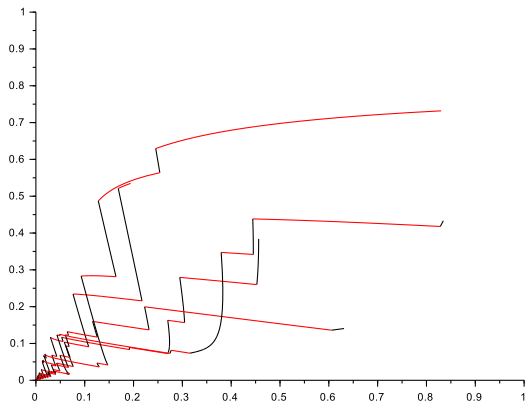


Figure: exemple de trajectoires de F^1 et F^2 pour lesquels 0 est un répulseur

Avec beaucoup de sauts



La variation entre les environnements peut conduire à l'éradication de la maladie.

Stratégie déterministe autour d'un équilibre d'une EDO

$$\dot{x} = F(x) \text{ avec } F(0) = 0.$$

Stratégie déterministe autour d'un équilibre d'une EDO

$\dot{x} = F(x)$ avec $F(0) = 0$.

Système linéarisé en 0 : $\dot{y} = Ay$, avec $A = DF(0)$. Alors

Stratégie déterministe autour d'un équilibre d'une EDO

$\dot{x} = F(x)$ avec $F(0) = 0$.

Système linéarisé en 0 : $\dot{y} = Ay$, avec $A = DF(0)$. Alors

- si $\forall \lambda \in Sp(A), Re(\lambda) < 0$ alors $x_t \rightarrow 0$ localement exponentiellement vite ;

Stratégie déterministe autour d'un équilibre d'une EDO

$\dot{x} = F(x)$ avec $F(0) = 0$.

Système linéarisé en 0 : $\dot{y} = Ay$, avec $A = DF(0)$. Alors

- si $\forall \lambda \in Sp(A), Re(\lambda) < 0$ alors $x_t \rightarrow 0$ localement exponentiellement vite ;
- si $\exists \lambda \in Sp(A), Re(\lambda) > 0$ alors x_t "s'éloigne de 0 dans la majorité des cas"

Système linéaire aléatoire pas si simple...

Cas particulier où $F^i(x) = A_i x$ pour une certaine matrice A_i .

Benaïm, Le Borgne, Malrieu, Zitt 2012

Exemples avec A_0, A_1 matrices 2×2 **stable**, et $A_0 + A_1$ **instable**. Then

- Taux de sauts inférieurs à une valeur critique $\Rightarrow \|X_t\| \rightarrow 0$.
- Taux supérieurs $\Rightarrow \|X_t\| \rightarrow \infty$.

Système linéaire aléatoire pas si simple...

Cas particulier où $F^i(x) = A_i x$ pour une certaine matrice A_i .

Benaïm, Le Borgne, Malrieu, Zitt 2012

Exemples avec A_0, A_1 matrices 2×2 **stable**, et $A_0 + A_1$ **instable**. Then

- Taux de sauts inférieurs à une valeur critique $\Rightarrow \|X_t\| \rightarrow 0$.
- Taux supérieurs $\Rightarrow \|X_t\| \rightarrow \infty$.

Lawley, Mattingly and Reed 2012

Exemples avec A_0, A_1 matrices 2×2 **stable**, et $\forall s \in (0, 1)$, $(1 - s)A_0 + sA_1$ **stable**. Alors

- Taux de sauts "petits" ou "grands" $\Rightarrow \|X_t\| \rightarrow 0$.
- Taux de sauts dans un intervalle borné critique $\Rightarrow \|X_t\| \rightarrow \infty$.

- En général, on ne peut rien conclure du comportement déterministe de chaque champs de vecteur, ni même de leurs combinaisons convexes.

- En général, on ne peut rien conclure du comportement déterministe de chaque champs de vecteur, ni même de leurs combinaisons convexes.
- Que peut-on dire dans le cas **non-linéaire**, et comment peut-on déduire le comportement du processus d'un système linéaire ?

Retour à notre PDMP non-linéaire : $\dot{X}_t = F^{l_t}(X_t)$.

PDMP linéarisé

$\dot{Y}_t = A_{J_t} Y_t$, avec $A_i = DF^i(0)$ et J chaîne de Markov avec taux de transition $\lambda_i(0)Q_{ij}(0)$.

Retour à notre PDMP non-linéaire : $\dot{X}_t = F^{I_t}(X_t)$.

PDMP linéarisé

$\dot{Y}_t = A_{J_t} Y_t$, avec $A_i = DF^i(0)$ et J chaîne de Markov avec taux de transition $\lambda_i(0)Q_{ij}(0)$.

Comment peut-on contrôler Y ?

Retour à notre PDMP non-linéaire : $\dot{X}_t = F^{I_t}(X_t)$.

PDMP linéarisé

$\dot{Y}_t = A_{J_t} Y_t$, avec $A_i = DF^i(0)$ et J chaîne de Markov avec taux de transition $\lambda_i(0)Q_{ij}(0)$.

Comment peut-on contrôler Y ?

En étudiant $\lim \frac{1}{t} \log \|Y_t\| \dots$

Projection sur la sphère

$$\rho_t = \|Y_t\| \text{ et } \Theta_t = \frac{Y_t}{\|Y_t\|}.$$

Alors (ρ, Θ, J) et (Θ, J) sont encore des PDMP.

Projection sur la sphère

$$\rho_t = \|Y_t\| \text{ et } \Theta_t = \frac{Y_t}{\|Y_t\|}.$$

Alors (ρ, Θ, J) et (Θ, J) sont encore des PDMP.

Si μ est une probabilité ergodique pour (Θ, J)

$$\Rightarrow \lim \frac{1}{t} \log \|Y_t\| = \int_{S \times E} \langle A_i \theta, \theta \rangle d\mu(\theta, i) := \Lambda(\mu)$$

pour μ presque-tout (θ, j) .

Projection sur la sphère

$$\rho_t = \|Y_t\| \text{ et } \Theta_t = \frac{Y_t}{\|Y_t\|}.$$

Alors (ρ, Θ, J) et (Θ, J) sont encore des PDMP.

Si μ est une probabilité ergodique pour (Θ, J)

$$\Rightarrow \lim \frac{1}{t} \log \|Y_t\| = \int_{S \times E} \langle A_i \theta, \theta \rangle d\mu(\theta, i) := \Lambda(\mu)$$

pour μ presque-tout (θ, j) .

Taux de croissance moyens - exposants de Lyapunov

$$\Lambda^+ = \max \Lambda(\mu) \text{ and } \Lambda^- = \min \Lambda(\mu)$$

Projection sur la sphère

$$\rho_t = \|Y_t\| \text{ et } \Theta_t = \frac{Y_t}{\|Y_t\|}.$$

Alors (ρ, Θ, J) et (Θ, J) sont encore des PDMP.

Si μ est une probabilité ergodique pour (Θ, J)

$$\Rightarrow \lim \frac{1}{t} \log \|Y_t\| = \int_{S \times E} \langle A_i; \theta, \theta \rangle d\mu(\theta, i) := \Lambda(\mu)$$

pour μ presque-tout (θ, j) .

Taux de croissance moyens - exposants de Lyapunov

$$\Lambda^+ = \max \Lambda(\mu) \text{ and } \Lambda^- = \min \Lambda(\mu)$$

Résultats principaux : Le comportement local de X autour de 0 est donné par le signe des exposants de Lyapunov

Théorème

On suppose $\Lambda^+ < 0$. Alors $\forall \alpha \in (\Lambda^+, 0)$, il existe $\eta > 0$ et un voisinage \mathcal{U} de 0 tel que

$$X_0 \in \mathcal{U} \Rightarrow \mathbb{P}_{x,i}(\limsup_{t \rightarrow \infty} \frac{1}{t} \log(\|X_t\|) \leq \alpha) \geq \eta.$$

Théorème

On suppose $\Lambda^+ < 0$. Alors $\forall \alpha \in (\Lambda^+, 0)$, il existe $\eta > 0$ et un voisinage \mathcal{U} de 0 tel que

$$X_0 \in \mathcal{U} \Rightarrow \mathbb{P}_{x,i}(\limsup_{t \rightarrow \infty} \frac{1}{t} \log(\|X_t\|) \leq \alpha) \geq \eta.$$

Si de plus 0 est **accessible** alors pour tous $x \in M$ et $i \in E$

$$\mathbb{P}_{x,i}(\limsup_{t \rightarrow \infty} \frac{1}{t} \log(\|X_t\|) \leq \Lambda^+) = 1.$$

Théorème

On suppose $\Lambda^- > 0$. Alors

Théorème

On suppose $\Lambda^- > 0$. Alors

- 1 Il existe une probabilité invariante μ pour Z telle que $\mu(\{0\} \times E) = 0$. De plus pour un certain $\theta > 0$,

$$\sum_{i \in E} \int \|x\|^{-\theta} \mu^i(dx) < \infty.$$

Théorème

On suppose $\Lambda^- > 0$. Alors

- 1 Il existe une probabilité invariante μ pour Z telle que $\mu(\{0\} \times E) = 0$. De plus pour un certain $\theta > 0$,

$$\sum_{i \in E} \int \|x\|^{-\theta} \mu^i(dx) < \infty.$$

- 2 $\forall \varepsilon > 0; \exists r > 0$ tel que

$$\limsup \frac{1}{t} \int_0^t \mathbb{1}_{\|X_s\| \leq r} ds \leq \varepsilon \quad p.s.$$

Théorème

On suppose $\Lambda^- > 0$. Alors

- 1 Il existe une probabilité invariante μ pour Z telle que $\mu(\{0\} \times E) = 0$. De plus pour un certain $\theta > 0$,

$$\sum_{i \in E} \int \|x\|^{-\theta} \mu^i(dx) < \infty.$$

- 2 $\forall \varepsilon > 0; \exists r > 0$ tel que

$$\limsup \frac{1}{t} \int_0^t \mathbb{1}_{\|X_s\| \leq r} ds \leq \varepsilon \quad p.s.$$

- 3 Soit $\tau^\varepsilon = \inf\{t \geq 0 : \|X_t\| \geq \varepsilon\}$. Alors il existe $\varepsilon > 0$, $a > 0$ et $c > 0$ t.q.

$$\mathbb{E}_{x,i}(e^{a\tau^\varepsilon}) \leq c(1 + \|x\|^{-\theta}).$$

Théorème

On suppose $\Lambda^- > 0$ et qu'il existe un point $p \in M \setminus \{0\}$ **accessible** auquel la **condition de crochet faible** (condition type Hörmander) est vérifiée. Alors

Théorème

On suppose $\Lambda^- > 0$ et qu'il existe un point $p \in M \setminus \{0\}$ **accessible** auquel la **condition de crochet faible** (condition type Hörmander) est vérifiée. Alors

- 1 La probabilité invariante μ de Z telle que $\mu(\{0\} \times E) = 0$ est unique

Théorème

On suppose $\Lambda^- > 0$ et qu'il existe un point $p \in M \setminus \{0\}$ **accessible** auquel la **condition de crochet faible** (condition type Hörmander) est vérifiée. Alors

- 1 La probabilité invariante μ de Z telle que $\mu(\{0\} \times E) = 0$ est unique
- 2 μ est absolument continue par rapport à $\mathbf{Leb} \otimes (\sum_{i \in E} \delta_i)$

Théorème

On suppose $\Lambda^- > 0$ et qu'il existe un point $p \in M \setminus \{0\}$ **accessible** auquel la **condition de crochet faible** (condition type Hörmander) est vérifiée. Alors

- 1 La probabilité invariante μ de Z telle que $\mu(\{0\} \times E) = 0$ est unique
- 2 μ est absolument continue par rapport à $\mathbf{Leb} \otimes (\sum_{i \in E} \delta_i)$
- 3 Résultat ergodique : pour toute $f : M \times E \rightarrow \mathbb{R}$ mesurable bornée,

$$\lim_{t \rightarrow \infty} \frac{1}{t} \int_0^t f(Z_s) ds = \int f d\mu. \quad a.s.$$

Théorème

On suppose $\Lambda^- > 0$ et qu'il existe un point $p \in M \setminus \{0\}$ **accessible** auquel la **condition de crochet forte** (condition type Hörmander) est vérifiée. Alors il existe $\kappa, \theta > 0$ tels que

$$\|\mathbb{P}_{x,i}(Z_t \in \cdot) - \mu\|_{TV} \leq C(1 + \|x\|^{-\theta})e^{-\kappa t}.$$

Retour aux exemples - Modèles épidémiologiques déterministes

- Une maladie se répand dans la population

Retour aux exemples - Modèles épidémiologiques déterministes

- Une maladie se répand dans la population
- d groupes dans la population

Retour aux exemples - Modèles épidémiologiques déterministes

- Une maladie se répand dans la population
- d groupes dans la population
- $x_k \in [0, 1]$ la proportion d'infectés dans le groupe k

Retour aux exemples - Modèles épidémiologiques déterministes

- Une maladie se répand dans la population
- d groupes dans la population
- $x_k \in [0, 1]$ la proportion d'infectés dans le groupe k
- évolution $\dot{x} = F(x)$ avec $x = (x_1, \dots, x_d)$

Retour aux exemples - Modèles épidémiologiques déterministes

- Une maladie se répand dans la population
- d groupes dans la population
- $x_k \in [0, 1]$ la proportion d'infectés dans le groupe k
- évolution $\dot{x} = F(x)$ avec $x = (x_1, \dots, x_d)$
- $F(0) = 0$ (pas de création spontanée de la maladie)

Retour aux exemples - Modèles épidémiologiques déterministes

- Une maladie se répand dans la population
- d groupes dans la population
- $x_k \in [0, 1]$ la proportion d'infectés dans le groupe k
- évolution $\dot{x} = F(x)$ avec $x = (x_1, \dots, x_d)$
- $F(0) = 0$ (pas de création spontanée de la maladie)
- Le flot Φ_t est monotone : $x \leq y \Rightarrow \Phi_t(x) \leq \Phi_t(y)$

Retour aux exemples - Modèles épidémiologiques déterministes

- Une maladie se répand dans la population
- d groupes dans la population
- $x_k \in [0, 1]$ la proportion d'infectés dans le groupe k
- évolution $\dot{x} = F(x)$ avec $x = (x_1, \dots, x_d)$
- $F(0) = 0$ (pas de création spontanée de la maladie)
- Le flot Φ_t est monotone : $x \leq y \Rightarrow \Phi_t(x) \leq \Phi_t(y)$
- Le flot Φ_t est sous-homogène : $\lambda > 1 \Rightarrow \Phi_t(\lambda x) < \lambda \Phi_t(x)$

Retour aux exemples - Modèles épidémiologiques déterministes

- Une maladie se répand dans la population
- d groupes dans la population
- $x_k \in [0, 1]$ la proportion d'infectés dans le groupe k
- évolution $\dot{x} = F(x)$ avec $x = (x_1, \dots, x_d)$
- $F(0) = 0$ (pas de création spontanée de la maladie)
- Le flot Φ_t est monotone : $x \leq y \Rightarrow \Phi_t(x) \leq \Phi_t(y)$
- Le flot Φ_t est sous-homogène : $\lambda > 1 \Rightarrow \Phi_t(\lambda x) < \lambda \Phi_t(x)$
- Irreducibilité : la maladie peut se répandre du groupe k au groupe l

Retour aux exemples - Modèles épidémiologiques déterministes

- Une maladie se répand dans la population
- d groupes dans la population
- $x_k \in [0, 1]$ la proportion d'infectés dans le groupe k
- évolution $\dot{x} = F(x)$ avec $x = (x_1, \dots, x_d)$
- $F(0) = 0$ (pas de création spontanée de la maladie)
- Le flot Φ_t est monotone : $x \leq y \Rightarrow \Phi_t(x) \leq \Phi_t(y)$
- Le flot Φ_t est sous-homogène : $\lambda > 1 \Rightarrow \Phi_t(\lambda x) < \lambda \Phi_t(x)$
- Irreducibilité : la maladie peut se répandre du groupe k au groupe l

F : champ de vecteurs épidémiques

Théorème (Lajmanovic-Yorke ; Hirsh, 1994)

F un champ de vecteur épidémique, $A = DF(0)$,
 $\lambda(A) = \max\{Re(\lambda) : \lambda \in Sp(A)\}$.

- 1 $\lambda(A) \leq 0 \Rightarrow \forall x_0, x_t \rightarrow 0$
- 2 $\lambda(A) > 0 \Rightarrow \exists x^* \neq 0, \forall x_0 \neq 0, x_t \rightarrow x^*$.

Dichotomie aléatoire

La façon dont la maladie se répand dépend de l'environnement qui varie de manière aléatoire.

Théorème

F^i des champs de vecteurs épidémiques, $(I_t)_{t \geq 0}$ chaîne de Markov sur $E = \{1, \dots, N\}$.

Dichotomie aléatoire

La façon dont la maladie se répand dépend de l'environnement qui varie de manière aléatoire.

Théorème

F^i des champs de vecteurs épidémiques, $(I_t)_{t \geq 0}$ chaîne de Markov sur $E = \{1, \dots, N\}$.

① $\Lambda^+ = \Lambda^- := \Lambda$;

Dichotomie aléatoire

La façon dont la maladie se répand dépend de l'environnement qui varie de manière aléatoire.

Théorème

F^i des champs de vecteurs épidémiques, $(I_t)_{t \geq 0}$ chaîne de Markov sur $E = \{1, \dots, N\}$.

- 1 $\Lambda^+ = \Lambda^- := \Lambda$;
- 2 Si $\Lambda < 0$ alors pour tout $x \in [0, 1]^d$,

$$\mathbb{P}_{x,i}(\limsup_{t \rightarrow \infty} \frac{1}{t} \log(\|X_t\|) \leq \Lambda) = 1.$$

Dichotomie aléatoire

La façon dont la maladie se répand dépend de l'environnement qui varie de manière aléatoire.

Théorème

F^i des champs de vecteurs épidémiques, $(I_t)_{t \geq 0}$ chaîne de Markov sur $E = \{1, \dots, N\}$.

- 1 $\Lambda^+ = \Lambda^- := \Lambda$;
- 2 Si $\Lambda < 0$ alors pour tout $x \in [0, 1]^d$,

$$\mathbb{P}_{x,i}(\limsup_{t \rightarrow \infty} \frac{1}{t} \log(\|X_t\|) \leq \Lambda) = 1.$$

- 3 Si $\Lambda > 0$, Z admet une unique probabilité invariante Π telle que $\Pi(\{0\} \times E) = 0$. De plus, il existe une distance d sur $(0, 1]^d \times E$ et $\exists r > 0$ tels que $\forall x \neq 0$,

$$\mathcal{W}_d(\mathbb{P}(Z_t \in \cdot), \Pi) \leq e^{-rt} \mathcal{W}_d(\delta_x, \Pi)$$

\mathcal{W}_d est la distance de Wasserstein associée à d .

Dans le cas aléatoire : seulement une presque dichotomie.

Conjecture

Pour F^i des champs de vecteurs épidémiques, $(I_t)_{t \geq 0}$ chaîne de Markov sur $E = \{1, \dots, N\}$, si $\Lambda^+ = 0$, alors X_t converge vers 0.

Exemple en dimension 3

F^0 et F^1 deux champs de vecteur SIS en dimension 3 tels que, pour tout $t \in [0, 1]$, 0 is globalement asymptotiquement stable pour $F_t = tF^1 + (1 - t)F^0$.
 $(I_t)_{t \geq 0}$ chaîne de Markov sur $E = \{0, 1\}$ avec matrice d'intensité

$$Q = \begin{pmatrix} -\beta & \beta \\ \beta & -\beta \end{pmatrix}$$

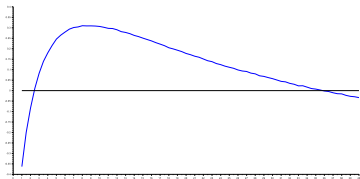
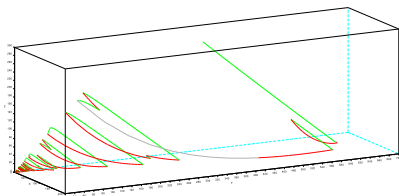


Figure: Simulation de Y_t pour $\beta = 10$ et simulation de $\Lambda(\beta)$

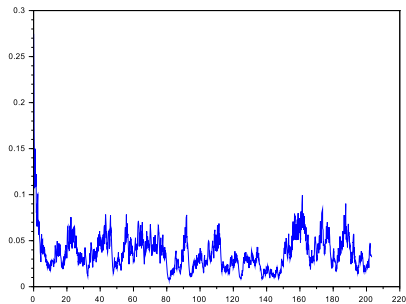
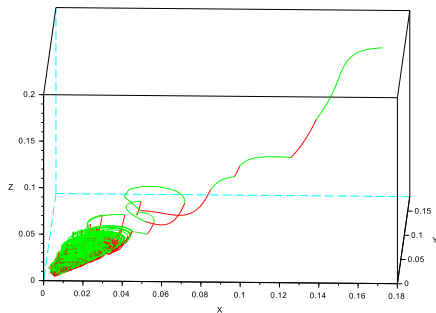


Figure: Simulation de X_t et de $\|X_t\|$ pour $\beta = 10$

Merci !

